

ปัจจัยการทำงานที่มีผลต่อการเกิดรอยแผลบนผิวในร่องนำบลอกของตับลูกปืน²
ในกระบวนการล้างโดยใช้คลื่นเนื้อเสียง

๒๕๖๔

นางสาวจิตติมา วรรณศ์ไกรศรี

ศูนย์วิทยบรังษยการ

วิทยานิพนธ์นี้เป็นส่วนหนึ่งของการศึกษาตามหลักสูตรปริญญาวิศวกรรมศาสตรมหาบัณฑิต

สาขาวิชาวิศวกรรมเคมี ภาควิชาเคมี

คณะวิศวกรรมศาสตร์ จุฬาลงกรณ์มหาวิทยาลัย

ปีการศึกษา 2548

ISBN 974-17-5749-2

ลิขสิทธิ์ของจุฬาลงกรณ์มหาวิทยาลัย

OPERATING PARAMETERS AFFECTING FORMATION OF FLAWS ON SURFACE OF
BEARING RACEWAY IN WASHING PROCESS USING ULTRASOUND

Ms. Chittima Worawongkraisee

ศูนย์วิทยบริการ

A Thesis Submitted in Partial Fulfillment of the Requirements
for the Degree of Master of Engineering Program in Chemical Engineering

Department of Chemical Engineering

Faculty of Engineering

Chulalongkorn University

Academic Year 2005

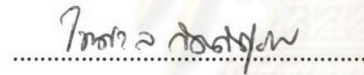
ISBN 974-17-5749-2

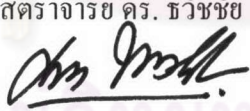
หัวข้อวิทยานิพนธ์ ปัจจัยการทำงานที่มีผลต่อการเกิดรอยแผลบนผิวในร่องน้ำบ่องคล้องตับ
ลูกปืนในกระบวนการถ่ายโดยใช้คลื่นเห็นไม่อสีของ
โดย นางสาวจิตติมา วรรณ์ไกรศรี
สาขาวิชา วิศวกรรมเคมี
อาจารย์ที่ปรึกษา รองศาสตราจารย์ ดร. นวัชชัย ชรินพานิชกุล

คณะวิศวกรรมศาสตร์ จุฬาลงกรณ์มหาวิทยาลัย อนุมัติให้นำวิทยานิพนธ์ฉบับนี้
เป็นส่วนหนึ่งของการศึกษาตามหลักสูตรปริญญามหาบัณฑิต

 คณบดีคณะวิศวกรรมศาสตร์
(ศาสตราจารย์ ดร. ดิเรก ลาวันயักษิริ)

คณะกรรมการสอบวิทยานิพนธ์

 ประธานกรรมการสอบ
(รองศาสตราจารย์ ดร. โพษก กิตติศุภกร)

 อาจารย์ที่ปรึกษาวิทยานิพนธ์
(รองศาสตราจารย์ ดร. นวัชชัย ชรินพานิชกุล)
 กรรมการ
(รองศาสตราจารย์ ดร. มล. สุก GN ก ทองไหญ)

 กรรมการ
(ผู้ช่วยศาสตราจารย์ ดร. ศิริวงศ์ ปรีชานนท์)

นางสาวจิตติมา วรวงศ์ไกรศรี : ปัจจัยการทำงานที่มีผลต่อการเกิดรอยแพลงพิวในร่องนำ
นอลของตลับลูกปืนในกระบวนการล้าง โดยใช้คลื่นเนื้อเสียง (OPERATING
PARAMETER AFFECTING FORMATION OF FLAWS ON SURFACE OF BEARING
RACEWAY IN WASHING PROCESS USING ULTRASOUND) อ. ที่ปรึกษา : รศ. ดร.
ชวัชชัย ชรินพานิชกุล , 90 หน้า. ISBN 974-17-5749-2.

งานวิจัยนี้มีวัตถุประสงค์เพื่อศึกษาอิทธิพลของการใช้คลื่นเนื้อเสียงต่อการเกิดรอยแพลงพิวที่
ผิวของร่องนำนอล (raceway) ที่เกิดจากกระบวนการล้างตลับลูกปืน เพื่อเป็นแนวทางในการ
ปรับปรุงกระบวนการล้างเพื่อลดปริมาณของเสียงในกระบวนการผลิต

โดยในการวิจัยได้รวบรวมปัจจัยต่างๆ ของเครื่องล้างตลับลูกปืน เช่น อุณหภูมิ อัตราการ
ไหลของสารละลายในถังล้าง ความเข้มข้นของอนุภาคในสารละลาย และจำนวนงานเสียงเนื่องจาก
รอยแพลงพิวที่ผิวร่องนำนอล เป็นต้น จากนั้นจึงนำข้อมูลที่ได้มาวิเคราะห์ทางสถิติเพื่อค้นหาปัจจัยหลัก
ที่มีผลต่อจำนวนงานเสียง สำหรับใช้อธิบายกลไก และสาเหตุของการเกิดงานเสียงเนื่องจากปัจจัย
ดังกล่าว

ผลการวิจัยทำให้ทราบว่าปัจจัยหลักที่มีผลต่อการเกิดรอยแพลงพิวที่ผิวร่องนำนอล ได้แก่
อุณหภูมิ และอัตราการไหลของสารละลายในถัง กล่าวคือเมื่ออุณหภูมิ และอัตราการไหลของ
สารละลายในถังเพิ่มขึ้นจำนวนงานเสียงซึ่งเป็นรอยแพลงพิวที่ผิวร่องนำนอลมีจำนวนลดลง ทั้งนี้
เนื่องจากเมื่ออุณหภูมิของสารละลายเพิ่มขึ้น ทำให้อุณหภูมิและความดันเมื่อ covariance แตกตัวมีค่า
ลดลง ในขณะที่เมื่ออัตราการไหลของสารละลายเพิ่มขึ้น ความสามารถในการพาอนุภาค และสิ่ง
สกปรกออกจากผิวน้ำของร่องนำนอลมากขึ้น ดังนั้นการที่อนุภาค และสิ่งสกปรกดังกล่าว
กระแทกที่ผิวของร่องนำนอลจึงลดลง

จุฬาลงกรณ์มหาวิทยาลัย

ภาควิชา วิศวกรรมเคมี.....	ลายมือชื่อนิสิต จิตาดิษฐา ธรรมชาติ
สาขาวิชา วิศวกรรมเคมี.....	ลายมือชื่ออาจารย์ที่ปรึกษา.....
ปีการศึกษา 2548	

4571410921 : MAJOR CHEMICAL ENGINEERING

KEY WORD : ULTRASONIC / WASHING / BEARING / RACEWAY / CAVITATION

CHITTIMA WORAWONGKRAISEE : OPERATING PARAMETERS AFFECTING FORMATION OF FLAWS ON SURFACE OF BEARING RACEWAY IN WASHING PROCESS USING ULTRASOUND. THESIS ADVISOR : ASSOC. PROF.

TAWATCHAI CHARINPANICHAKUL, Ph.D., 90 pp. ISBN 974-17-5749-2.

This research aims to study affecting parameters of flaws formation on surface of bearing raceway. The effort will provide advantage for reduction of defective on raceway in an actual production process.

In this study the concerned parameters of ultrasonic washing process are collected. Temperature, circulation flow rate, particle concentration in washing solution and defective bearing from ultrasound were comprehensively gathered and analyzed. Then a statistical analysis was conducted to evaluate the relationship of flaws on bearing raceway and these operating parameters. Finally the mechanism and reason of flaws formation were proposed.

Based on an experimental results it was formed that a high temperature and circulation flow rate lead to a decrease in the number of flaws on surface of bearing raceway. Due to the increase in the solution temperature, cavitation explosion temperature and pressure could be expected to decrease. While the increase of circulation flow rate play a role in the transport of particle away from the raceway surface following detachment that can reduce the impact of particle on raceway surface.

จุฬาลงกรณ์มหาวิทยาลัย

Department of Chemical Engineering

Field of study Chemical Engineering

Academic year 2005

Student's signature

Advisor's signature

กิตติกรรมประกาศ

ผู้ทำวิจัยขอกราบขอบพระคุณ รองศาสตราจารย์ ดร. นวัชชัย ชรินพานิชกุล
อาจารย์ที่ปรึกษาวิทยานิพนธ์ ที่ได้ให้คำปรึกษาและแนวทางในการทำวิจัย แนวทางในการ
แก้ปัญหาต่างๆ ระหว่างการทำวิจัยตลอดจนช่วยปรับปรุงแก้ไขวิทยานิพนธ์ฉบับนี้จนเสร็จสมบูรณ์

ขอขอบพระคุณ รองศาสตราจารย์ ดร. ไพบูล กิตติศุภกร ประธานในการสอน
วิทยานิพนธ์ รองศาสตราจารย์ ดร. นล. ศุภกนก ทองใหญ่ และ ผู้ช่วยศาสตราจารย์ ดร. สีรุจ
ประชานันท์ กรรมการสอนวิทยานิพนธ์ ที่กรุณาให้ข้อคิดเห็นที่มีคุณค่า ทำให้วิทยานิพนธ์ฉบับนี้มี
ความสมบูรณ์ยิ่งขึ้น

ขอขอบคุณ คุณครรชิต ดันติวัฒนกุล คุณจีรนันท์ ปรีดาอนันทสุข พี่ฯ เพื่อนๆ
และน้องๆ ที่บริษัททุกท่านที่ให้ความร่วมมือ คำแนะนำ และอยสนับสนุนในการทำวิจัยครั้งนี้

สุดท้ายนี้ ผู้ทำวิจัยขอกราบขอบพระคุณบิดาและมารดาที่เป็นกำลังใจในคราวทั้ง
งานวิจัยสำเร็จลุล่วงด้วยดี

ศูนย์วิทยทรัพยากร
จุฬาลงกรณ์มหาวิทยาลัย

สารบัญ

หน้า

บทคัดย่อภาษาไทย.....	๑
บทคัดย่อภาษาอังกฤษ.....	๑
กิตติกรรมประกาศ.....	๙
สารบัญ.....	๙
สารบัญตาราง.....	๖
สารบัญรูป.....	๗
บทที่ ๑ บทนำ.....	๑
1.1 ความเป็นมาและความสำคัญของปัญหา.....	๑
1.2 ปัญหาที่พบในกระบวนการถ่างตัวลับลูกปืนด้วยคลื่นเหนือเสียง.....	๒
1.3 วัตถุประสงค์ของการวิจัย.....	๒
1.4 ขอบเขตของการวิจัย.....	๒
1.5 ประโยชน์ที่คาดว่าจะได้รับ.....	๓
1.6 วิธีดำเนินการวิจัย.....	๓
1.7 ลำดับขั้นตอนในการเสนอผลการวิจัย.....	๓
บทที่ ๒ เอกสารและงานวิจัยที่เกี่ยวข้อง.....	๕
2.1 ทฤษฎีเกี่ยวกับคลื่นเหนือเสียง.....	๕
2.2 ปรากฏการณ์จากการเคลื่อนที่ของคลื่นเสียงในตัวกลาง.....	๗
2.3 ตัวแปรต่างๆที่มีผลต่อความยากง่ายในการเกิดภาวะแทรกซ้อน.....	๙
2.3.1 ก้าชและอนุภาคของแข็งที่ปรากฏในของเหลว.....	๙
2.3.2 ความดันภายในของเหลว.....	๑๐
2.3.3 ความหนืดของของเหลว.....	๑๐
2.3.4 ความถี่ของคลื่นเหนือเสียง.....	๑๐
2.3.5 อุณหภูมิ.....	๑๓
2.3.6 ความเข้มของคลื่นเหนือเสียง.....	๑๔
2.4 การประยุกต์ใช้คลื่นเหนือเสียง.....	๑๕
2.4.1 ใช้ในกระบวนการทางเคมี.....	๑๕

หน้า

2.4.2 ใช้ในกระบวนการทางกายภาพ.....	15
2.4.3 ใช้ในกระบวนการทางชีวภาพ.....	15
2.5 ตัวดำเนินคลื่นเหนือเสียง.....	16
2.6 การทำความสะอาดด้วยคลื่นเหนือเสียง.....	17
2.7 ความถี่ของคลื่นเหนือเสียง กับการกำจัดผุ้นขนาดเล็ก.....	19
2.8 การทำความสะอาดด้วยคลื่นเหนือเสียงในตัวทำละลายน้ำ และ semi-aqueous.....	19
2.9 ระบบของการถังด้วยคลื่นเหนือเสียงคลื่นเหนือเสียง และกลไกการทำความสะอาด	20
2.10 การกลั่นมาใช้ด้วยของอนุภาค.....	23
2.11 เทคนิคการวิเคราะห์เพื่อหาสาเหตุของปัญหา.....	24
2.12 การทดลองแบบแฟคทอรีเรียล (Factorial Experiment).....	27
2.13 เอกสารและงานวิจัยที่เกี่ยวข้อง.....	29
บทที่ 3 วิธีดำเนินงานวิจัย.....	31
3.1 ประชากร.....	31
3.2 เครื่องมือที่ใช้ในงานวิจัย.....	32
3.3 การเก็บรวบรวมข้อมูล.....	32
3.4 การวิเคราะห์ข้อมูล.....	33
บทที่ 4 ผลการวิเคราะห์ข้อมูล.....	34
4.1 ผลการวิเคราะห์.....	34
4.1.1 การวิเคราะห์ภาพรวมสาเหตุของปัญหาด้วยแผนภูมิเหตุและผล (Cause and Effect Analysis).....	35
4.1.2 การใช้ FMEA (Failure mode and effective analysis).....	37
4.1.3 การตรวจหารอยแพลงผิวร่องนำบ่อเนื่องจากการถังด้วยคลื่นเหนือเสียง.....	39
4.1.4 สรุปข้อมูลปัจจัยต่างๆของเครื่องถังโดยใช้คลื่นเหนือเสียง.....	44
4.2 ผลการเปรียบเทียบ.....	52

หน้า

บทที่ ๕ สรุปผลการวิจัย อภิปรายผล และข้อเสนอแนะ.....	58
รายการอ้างอิง.....	60
บรรณานุกรม.....	63
ภาคผนวก.....	64
ภาคผนวก ก ภาพเครื่องมือที่ใช้ในงานวิจัย.....	65
ภาคผนวก ข ผลการทดลอง.....	69
ประวัติผู้เขียนวิทยานิพนธ์.....	90



ศูนย์วิทยทรัพยากร
จุฬาลงกรณ์มหาวิทยาลัย

สารบัญตาราง

ตารางที่	หน้า
2.1 การตั้งคำถ้าแบบ 5W1H.....	25
2.2 การใช้ 4 M ในการตั้งคำถ้า.....	26
4.1 การวิเคราะห์ด้วย FMEA เพื่อหาลำดับความสำคัญของสาเหตุการเกิดรอยแพลงน ผิวร่องนำบลในกระบวนการล้างด้วยคลีนเนื้อเสียง.....	38
4.2 ค่าของอุณหภูมิของสารละลายในถังที่ 1 และค่าเฉลี่ยของงานเสียที่อุณหภูมิต่างๆ.....	45
4.3 ค่าอัตราการไหลของสารละลายในถังที่ 2 และค่าเฉลี่ยของงานเสียที่อัตราการไหล ต่างๆ.....	46
4.4 ค่าของอุณหภูมิของสารละลายในถังที่ 2 และค่าเฉลี่ยของงานเสียที่อุณหภูมิต่างๆ.....	48
4.5 ค่าของอุณหภูมิของสารละลายในถังที่ 3 และค่าเฉลี่ยของงานเสียที่อุณหภูมิต่างๆ.....	50
4.6 ข้อมูลการทดลองของจำนวนงานเสียที่ขึ้นกับอุณหภูมิ และอัตราการไหลของ สารละลายต่างๆ.....	51
4.7 ค่าเฉลี่ยของจำนวนงานเสียที่ที่ขึ้นกับอุณหภูมิ และอัตราการไหลของสารละลาย ต่างๆ.....	52
4.8 ผลของอุณหภูมิของสารละลายต่ออุณหภูมิสูงสุด และความดันสูงสุดของควิเทชัน.	54
4.9 การวิเคราะห์ความแปรปรวนของการเกิดรอยแพลงนผิวของร่องนำบล.....	57
ข.1 ค่าพารามิเตอร์ต่างๆของเครื่องล้างชิ้นงานถังที่ 1.....	70
ข.2 ค่าพารามิเตอร์ต่างๆของเครื่องล้างชิ้นงานถังที่ 2.....	71
ข.3 ค่าพารามิเตอร์ต่างๆของเครื่องล้างชิ้นงานถังที่ 3.....	72
ข.4 จำนวนงานเสียที่ผิวร่องนำบลเนื่องจากการล้างด้วยคลีนเนื้อเสียง.....	73
ข.5 แบบฟอร์มตารางการวิเคราะห์ความแปรปรวน (Analysis of variance, ANOVA).....	88

สารบัญภาพ

รูปที่	หน้า
1.1 ตัวอย่างลักษณะของรอยแพลงค์ที่เกิดบนร่องนำabolของ Inner Ring.....	2
2.1 คลื่นเสียงที่ความถี่ต่างๆ.....	5
2.2 ลักษณะของคลื่นเหนือเสียงกับเส้นโถงไชน์.....	6
2.3 พองก้าชที่อยู่บนผิวของแม็ง.....	7
2.4 ลักษณะของการเกิดความไม่แน่นหนึ่งกับความถี่คลื่นเหนือเสียงต่างๆ.....	12
2.5 ส่วนประกอบของชุดทำความสะอาดด้วยคลื่นเหนือเสียง.....	18
2.6 กลไกการทำความสะอาดพื้นผิวด้วยความถี่คลื่นเหนือเสียง.....	18
2.7 โครงสร้างมอโนเมอร์และไนเซล.....	21
2.8 ลักษณะของมุสัมพัสของหยดของเหลวบนพื้นผิว.....	22
2.9 แบบจำลองของอนุภาค Soil ที่เกาะอยู่บนพื้นผิว.....	23
2.10 แบบจำลองการป้องกันการกลับมาเกาะของสิ่งสกปรก.....	24
2.11 กราฟแสดงอิทธิพลร่วมหรืออันตรกิริยาของปัจจัย A และ B.....	28
4.1 แผนภูมิเหตุผล (Cause and Effect Analysis) หรือแผนผังกำจัดป่า.....	35
4.2 คลื่นเสียงขณะที่ตัดลูกปืนหมุนเมื่อวัดด้วย Anderon meter.....	40
4.3 ภาพจากกล้องจุลทรรศน์ลักษณะผิวของร่องนำabolที่เกิดรอยแพลงค์เนื่องจากกระบวนการล้าง.....	41
4.4 ภาพจาก SEM ลักษณะผิวของร่องนำabolที่เกิดรอยแพลงค์เนื่องจากการกระบวนการล้าง.....	41
4.5 ภาพจาก SEM ลักษณะผิวของร่องนำabolที่เกิดรอยแพลงค์หลายเลข 1.....	42
4.6 ภาพจาก SEM ลักษณะผิวของร่องนำabolที่เกิดรอยแพลงค์หลายเลข 2.....	43
4.7 ภาพจาก SEM ลักษณะผิวของร่องนำabolที่เกิดรอยแพลงค์หลายเลข 3.....	43
4.8 ผลการวิเคราะห์ด้วย SEM-EDX แสดงส่วนประกอบทางเคมีที่รอยแพลงค์ 3 รอย.....	44
4.9 แผนภูมิสเปกตรัมแสดงความถี่ของอุณหภูมิของสารละลายในถังที่ 1.....	45
4.10 ปริมาณงานเสียที่อุณหภูมิต่างๆของสารละลายในถังที่ 1.....	46
4.11 แผนภูมิสเปกตรัมแสดงความถี่ของอัตราการไหลของสารละลายในถังที่ 2.....	47
4.12 ปริมาณงานเสียที่อัตราการไหลของสารละลายต่างๆในถังที่ 2.....	47

รูปที่

หน้า

4.13 แผนภูมิชีสโตร์แกรมแสดงความถี่ของอุณหภูมิของสารละลายในถังที่ 2.....	48
4.14 ปริมาณงานเสียที่อุณหภูมิต่างๆของสารละลายในถังที่ 2.....	49
4.15 แผนภูมิชีสโตร์แกรมแสดงความถี่ของอุณหภูมิของสารละลายในถังที่ 3.....	50
4.16 ปริมาณงานเสียที่อุณหภูมิต่างๆของสารละลายในถังที่ 3.....	51
4.17 ผลของอุณหภูมิของสารละลายในถังต่อจำนวนงานเคลื่ยที่เกิดรอยแพลงนผิวร่องนำ บล็อก ที่แตกต่างของอัตราการ ไหลของสารละลาย.....	53
4.18 ผลของอุณหภูมิของสารละลายในถังต่อจำนวนงานเคลื่ยที่การเกิดรอยแพลงนผิว ร่องนำบล็อก.....	53
4.19 กราฟความสัมพันธ์ระหว่างอุณหภูมิของสารละลายกับความดันสูงสุดของควิเทชัน	55
4.20 ผลของอัตราการ ไหลวนของสารละลายที่อุณหภูมิต่างๆ ต่อจำนวนงานเคลื่ยที่พบ รอยแพลง.....	55
4.21 ผลของอัตราการ ไหลวนของสารละลายในถังต่อจำนวนงานเคลื่ยที่พบรอยแพลง.....	56
ก.1 เครื่องตรวจนับอนุภาคในสารละลาย (Liquid particle counter).....	66
ก.2 กล้องจุลทรรศน์อิเล็กตรอนแบบส่องกราด และอุปกรณ์วิเคราะห์ชาตุ ด้วยรังสีเอกซ์ (Scanning Electron Microscope and X-Ray Microanalysis).....	66
ก.3 Ultrasonic sound pressure meter.....	67
ก.4 กล้องจุลทรรศน์.....	67
ก.5 เครื่องล้างชี้้งานแบบใช้คลื่นหนึ่งเสียง.....	68
ก.6 Anderon Meter.....	68
ข.1 ผลของอุณหภูมิของสารละลายในถังที่ 1 ต่อ จำนวนงานเสียเป็นเปอร์เซนต์ที่เกิดชื้น ใน 1 เดือน.....	74
ข.2 ผลของอุณหภูมิของสารละลายในถังที่ 2 ต่อ จำนวนงานเสียเป็นเปอร์เซนต์ที่เกิดชื้น ใน 1 เดือน.....	75
ข.3 ผลของอุณหภูมิของสารละลายในถังที่ 3 ต่อ จำนวนงานเสียเป็นเปอร์เซนต์ที่เกิดชื้น ใน 1 เดือน.....	76
ข.4 อัตราการ ไหลของสารละลายในถังที่ 2 กับ จำนวนงานเสียเป็นเปอร์เซนต์ที่เกิดชื้นใน 1 เดือน.....	77

ช.5 อัตราการไอลของสารละลายในถังที่ 3 กับ จำนวนงานเสียเป็น佩อร์เซนต์ที่เกิดขึ้นใน 1 เดือน.....	78
ช.6 ความเข้มข้นของอนุภาคขนาด $0.5 \mu\text{m}$ ในสารละลายในถังที่ 1 กับจำนวนงานเสีย เป็น佩อร์เซนต์ที่เกิดขึ้น.....	79
ช.7 ความเข้มข้นของอนุภาคขนาด $0.5 \mu\text{m}$ ในสารละลายในถังที่ 2 กับจำนวนงานเสีย เป็น佩อร์เซนต์ที่เกิดขึ้น.....	80
ช.8 ความเข้มข้นของอนุภาคขนาด $0.5 \mu\text{m}$ ในสารละลายในถังที่ 3 กับจำนวนงานเสียเป็น 佩อร์เซนต์ที่เกิดขึ้น.....	81
ช.9 อัตราการไอลของสารละลายกับ ความเข้มข้นของอนุภาคขนาด $0.5 \mu\text{m}$ ใน สารละลายในถังที่ 1.....	82
ช.10 อัตราการไอลของสารละลายกับ ความเข้มข้นของอนุภาคขนาด $0.5 \mu\text{m}$ ใน สารละลายในถังที่ 2.....	83
ช.11 อัตราการไอลของสารละลายกับ ความเข้มข้นของอนุภาคขนาด $0.5 \mu\text{m}$ ใน สารละลายในถังที่ 3.....	84
ช.12 อัตราการไอลของสารละลายกับ ความเข้มข้นของอนุภาคขนาด $0.5 \mu\text{m}$ ใน สารละลายในถังที่ 4.....	85

ศูนย์วิทยทรัพยากร จุฬาลงกรณ์มหาวิทยาลัย